

Quantitative gamma-ray spectrometric and aeromagnetic airborne geophysical survey of the Northwestern Athabasca Basin, Saskatchewan, was completed by Goldair Airborne Surveys. The survey was flown from June 24th to September 21st, 2010 using two Piper PA-31 Navajo aircraft (C-GJBA, C-GJBB) and one Cessna Caravan (C-GLDX). The nominal traverse and control line spacings were, respectively, 400 m and 2400 m, and the aircraft flew at a nominal terrain clearance of 125 m at an air speed between 200 and 270 km/h. Traverse lines were oriented 135° with orthogonal control lines. The flight path was recovered following post-flight differential corrections to raw data recorded by a Global Positioning System.

Table 1 Gamma Ray Spectrometer Sensitivities for each aircraft. Columns: C-GJBA, C-GJBB, C-GLDX. Rows: Potassium (cps/K), Uranium (cps/ppm), Thorium (cps/ppm).

Table 1 Gamma Ray Spectrometer Sensitivities for each aircraft

Corrected data were filtered and interpolated to a 100 m grid interval. The results of an airborne gamma-ray spectrometer survey represent the average surface concentrations that are influenced by varying amounts of outcrop, overburden, vegetation cover, soil moisture and surface water. As a result the measured concentrations are usually lower than the actual bedrock concentrations. The total air absorbed dose rate in nanograys per hour was produced from measured counts between 400 and 2810 keV.

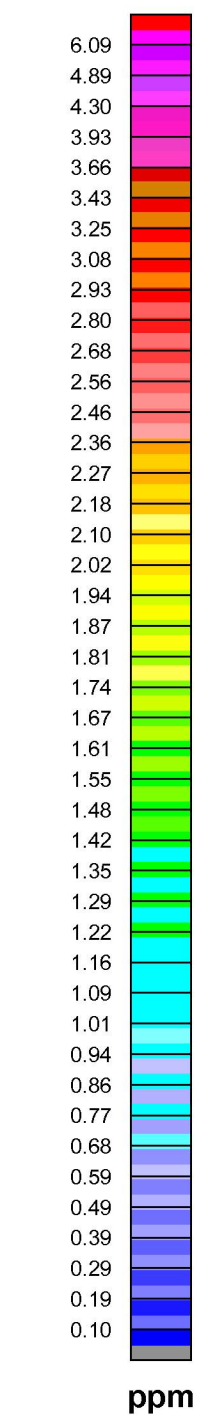
Magnetic Data

The magnetic field was sampled 10 times per second using a split-beam cesium vapour magnetometer (sensitivity = 0.005 nT) rigidly mounted to the aircraft. Differences in magnetic values at the intersections of control and traverse lines were computer-analysed to obtain a mutually levelled set of flight-line magnetic data. The levelled values were then interpolated to a 100 m grid. The International Geomagnetic Reference Field (IGRF) defined at the average GPS altitude of 510 m for the year 2010.61 was then removed. Removal of the IGRF, representing the magnetic field of the Earth's core, produces a residual component related essentially to magnetizations within the Earth's crust.

The first vertical derivative of the magnetic field is the rate of change of the magnetic field in the vertical direction. Computation of the first vertical derivative removes long-wavelength features of the magnetic field and significantly improves the resolution of closely spaced and superposed anomalies. A property of first vertical derivative maps is the coincidence of the zero-value contour with vertical contacts at high magnetic latitudes (Hood, 1965).

References

- Hood, P.J. 1965. Gradient measurements in aeromagnetic surveying. Geophysics, 30, 891-902.
International Atomic Energy Agency, 1991. Airborne gamma ray spectrometer surveying. Technical Reports Series 323, IAEA, Vienna.
International Atomic Energy Agency, 2003. Guidelines for radioelement mapping using gamma ray spectrometry data. Technical Reports Series 1363, IAEA, Vienna.



LEVÉ GÉOPHYSIQUE DE LA PARTIE NORD-OUEST DU BASSIN ATHABASCA, SASKATCHEWAN

Un levé géophysique aérien combinant l'acquisition de données quantitatives de spectrométrie gamma et de données magnétiques a été réalisé dans la partie nord-ouest du bassin Athabasca en Saskatchewan par la société Goldair Airborne Surveys. Le levé a été effectué du 24 juin au 21 septembre 2010, à bord de deux avions Piper PA-31 Navajo (C-GJBA, C-GJBB) et un Cessna Caravan (C-GLDX). L'espacement nominal des lignes de vol était de 400 m et celui des lignes de contrôle de 2400 m, alors que l'altitude normale de levé était de 125 m au-dessus du sol et que la vitesse était incluse entre 200 km/h et 270 km/h. Les lignes de vol étaient orientées à 135° et les lignes de contrôle leur étaient perpendiculaires. La trajectoire de vol a été restituée par l'application après le vol de corrections différentielles aux données brutes enregistrées avec un récepteur GPS.

Données de spectrométrie gamma

Les mesures de rayonnement gamma ont été effectuées à l'aide d'un spectromètre gamma Radiation Solutions RS-500 utilisant quatorze cristaux de NaI (TI) de 102 x 102 x 406 mm. Le principal réseau de capteurs se composait de douze cristaux (volume total de 50,4 litres). Deux cristaux (volume total de 8,4 litres), protégés par le réseau principal, ont été utilisés pour détecter les variations du rayonnement naturel causées par le radon atmosphérique. Le dispositif permettait de faire un suivi constant des pics du thorium pour chacun des cristaux et, au moyen d'un algorithme d'ajustement gaussien par la méthode des moindres carrés, de compenser le gain pour chacun des cristaux.

Le potassium est mesuré directement après les photons gamma de 1460 keV émis par le K-40, tandis que l'uranium et le thorium sont mesurés indirectement après les photons gamma émis par des produits de fission (Bi-214 pour l'uranium et Tl-208 pour le thorium). Bien que ces radionucléides de fission se trouvent loin dans leur chaîne respective de désintégration, on presume qu'ils sont en équilibre avec leur radionucléide père; ainsi, les mesures spectrométriques du rayonnement gamma de l'uranium et du thorium sont désignées comme des équivalents d'uranium et des équivalents de thorium, soit eU et eTh. Les plages d'énergie utilisées pour mesurer le potassium, l'uranium et le thorium sont respectivement : de 1370 à 1570 keV, de 1660 à 1860 keV et de 2410 à 2810 keV.

Les spectres du rayonnement gamma ont été enregistrés pendant des intervalles d'une seconde. Le traitement des données a suivi les procédures standards décrites dans IAEA, 1991 et IAEA, 2003. Pendant le traitement, les spectres ont été soumis à un étalonnage énergétique et les coups ont été cumulés dans les plages décrites ci-dessus. Les coups obtenus à l'aide des capteurs de radon ont été enregistrés dans la plage de 1660 à 1860 keV et le rayonnement à des énergies supérieures à 3000 keV a été enregistré dans la plage de rayonnement cosmique. Les coups enregistrés dans les plages ont été corrigés pour tenir compte du temps mort, du rayonnement de fond dû au rayonnement cosmique, de la radioactivité de l'aéronef et des produits de désintégration du radon atmosphérique. Les données pour les plages ont ensuite été corrigées pour tenir compte de la diffusion spectrale dans le sol, l'air et les capteurs. Les corrections pour les écarts à la hauteur de vol prévue et les variations de température et de pression ont été effectuées avant la conversion en concentrations équivalentes au sol de potassium, de l'uranium et du thorium, en utilisant des facteurs déterminés par une comparaison avec des résultats obtenus lors de vols effectués au-dessus d'une bande d'affleurement à Danielson, Saskatchewan. Les facteurs déterminés pour le potassium, l'uranium et le thorium sont présentés au Tableau 1.

Tableau 1. Sensibilités des spectromètres de chacun des aéronefs. Columns: C-GJBA, C-GJBB, C-GLDX. Rows: Potassium (cps/K), Uranium (cps/ppm), Thorium (cps/ppm).

Tableau 1. Sensibilités des spectromètres de chacun des aéronefs.

Un filtre a été appliqué aux données corrigées, qui ont ensuite été interpolées suivant une grille à maille de 100 m. Les résultats d'un levé aérien de spectrométrie gamma représentent les concentrations moyennes à la surface, qui sont influencées par les étendues variables des affleurements, des merts-terrains, de la couverture végétale et de l'eau de surface. Par conséquent, les concentrations mesurées sont habituellement plus faibles que les concentrations réelles dans le substratum rocheux. Le débit total de la dose absorbée par l'air, en nanograys à l'heure, a été déterminé d'après les coups mesurés dans la plage de 400 à 2810 keV.

Données sur le champ magnétique

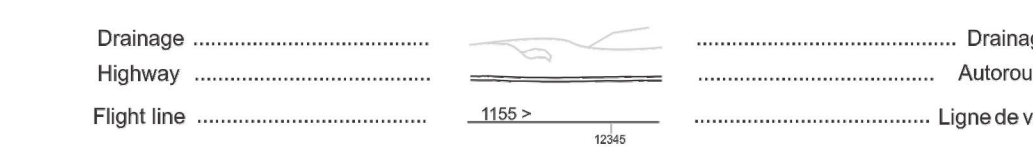
Le champ magnétique a été échantillonné 10 fois par seconde à l'aide d'un magnétomètre à vapeur de césium à faisceau partagé (sensibilité = 0.005 nT) rigidement fixé à l'aéronef. Les différences de valeur du champ magnétique aux intersections des lignes de contrôle et des lignes de levé ont été analysées par ordinateur afin d'obtenir un jeu de données sur le champ magnétique mutuellement nivelées sur les lignes de vol. Ces valeurs nivelées ont ensuite été interpolées suivant une grille à maille de 100 m. Le champ géomagnétique international de référence (International Geomagnetic Reference Field, IGRF) défini à l'altitude moyenne de 510 m fournie par les données GPS pour l'année 2010.61 a été soustrait. Le résultat du IGRF, qui représente le champ magnétique du noyau terrestre, fournit une composante résiduelle essentiellement reliée à la magnétisation de l'écorce terrestre.

La dérivée première verticale du champ magnétique représente le taux auquel varie le champ magnétique suivant la verticale. Le calcul de la dérivée première verticale supprime les composantes de grande longueur d'onde du champ magnétique et améliore considérablement la résolution des anomalies rapprochées les unes des autres ou superposées. L'une des propriétés des cartes de la dérivée première verticale est la coïncidence de l'isogramme de valeur zéro et des contacts verticaux aux hautes latitudes magnétiques (Hood, 1965).

Références

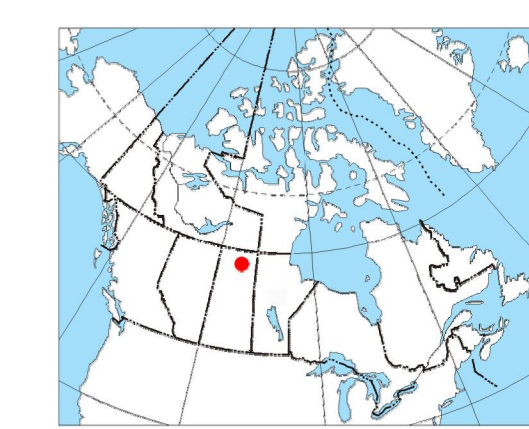
- Hood, P.J. (1965). Gradient measurements in aeromagnetic surveying; Geophysics, v. 30, p. 891-902.
International Atomic Energy Agency, 1991. Airborne gamma ray spectrometer surveying. Technical Reports Series 323, IAEA, Vienna.
International Atomic Energy Agency, 2003. Guidelines for radioelement mapping using gamma ray spectrometry data. Technical Reports Series 1363, IAEA, Vienna.

PLANIMETRIC SYMBOLS / SYMBOLES PLANIMÉTRIQUES



This airborne geophysical survey and the production of this map were funded by the Saskatchewan Ministry of Energy and Resources and the GEM-Energy Program of the Earth Sciences Sector, Natural Resources Canada.

Ce levé géophysique aéroporté et la production de cette carte ont été financés par le ministère de l'Énergie et des Ressources de la Saskatchewan et le programme GEM-Energie du Secteur des sciences de la Terre, Ressources naturelles Canada.



GSC OPEN FILE 6817 / DOSSIER PUBLIC 6817 DE LA CGC / SMER OPEN FILE 2011-52
GEOPHYSICAL SERIES / SÉRIE DES CARTES GÉOPHYSIQUES
AIRBORNE GEOPHYSICAL SURVEY OF THE NORTHWESTERN ATHABASCA BASIN, SASKATCHEWAN
LEVÉ GÉOPHYSIQUE AÉROPORTÉ DE LA PARTIE NORD-OUEST DU BASSIN ATHABASCA, SASKATCHEWAN
NTS 74 K William River / SNRC 74 K William River

THORIUM

Authors: Fortin, R., Coyle, M., Buckle, J., Hefford, S.W. and Delaney, G.

Auteurs: Fortin, R., Coyle, M., Buckle, J., Hefford, S.W. et Delaney, G.



MAP LOCATION - LOCALISATION DE LA CARTE
United Nations/United Nations Map Production
Projection: Transverse Mercator Projection



L'acquisition, la compilation des données ainsi que la production des cartes furent effectuées par Goldair Airborne Surveys, Saskatoon, Saskatchewan. La gestion et la supervision du projet furent effectuées par la Commission géologique du Canada, Ottawa, Ontario.

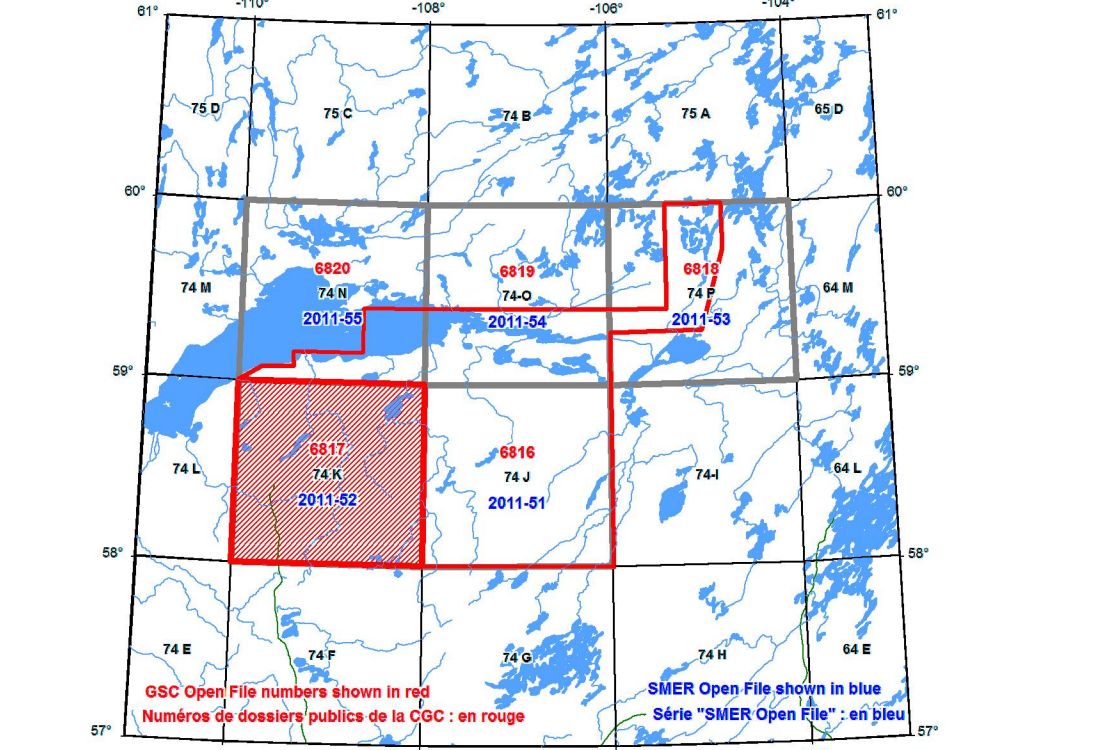
Digital topographic data provided by Geomatics Canada, Natural Resources Canada. Données topographiques numériques de Géomatique Canada, Ressources naturelles Canada.

MAP SHEET SUMMARY / SOMMAIRE DES FEUILLETS. List of 10 map sheets and their contents.

OPEN FILE / DOSSIER PUBLIC 6817. SHEET 4 OF 10 / FEUILLET 4 DE 10.

OPEN FILE / DOSSIER PUBLIC 6817. SHEET 4 OF 10 / FEUILLET 4 DE 10.

NATIONAL TOPOGRAPHIC SYSTEM REFERENCE AND GEOPHYSICAL MAP INDEX / SYSTÈME NATIONAL DE RÉFÉRENCE CARTOGRAPHIQUE ET INDEX DES CARTES GÉOPHYSIQUES



AIRBORNE GEOPHYSICAL SURVEY OF THE NORTHWESTERN ATHABASCA BASIN, SASKATCHEWAN / LEVÉ GÉOPHYSIQUE AÉROPORTÉ DE LA PARTIE NORD-OUEST DU BASSIN ATHABASCA, SASKATCHEWAN

Recommended citation: Fortin, R., Coyle, M., Buckle, J., Hefford, S. and Delaney, G., 2011. Geophysical Series. Airborne Geophysical Survey of the Northwestern Athabasca Basin, Saskatchewan, NTS 74 K, William River. Geological Survey of Canada, Open File 6817. Saskatchewan Ministry of Energy and Resources (SMER), Open File 2011-52; scale 1:250 000. Notation bibliographique conseillée: Fortin, R., Coyle, M., Buckle, J., Hefford, S. et Delaney, G., 2011. Série des cartes géophysiques. Levé géophysique aéroporté de la partie nord-ouest du bassin Athabasca, Saskatchewan, SNRC 74 K, William River. Commission géologique du Canada, Dossier public 6817; Ministère de l'Énergie et des Ressources de la Saskatchewan (SMER), Open File 2011-52; échelle 1:250 000.